

## Contenido del tema

### Tema 1 - Introducción.

#### 1.3 Modelos 3D. Modelos volumétricos, sólidos y de superficie.

Germán Arroyo, Juan Carlos Torres

6 de marzo de 2021

#### Tema 1: Introducción.

- 1.1 Concepto de entorno virtual.
- 1.2 Percepción y sentidos. Visualización 3D.
- 1.3 Modelos 3D. Modelos volumétricos, sólidos y de superficie.
- 1.4 Sistemas de interacción 2D y 3D.

#### 1.3 Modelos 3D. Modelos volumétricos, sólidos y de superficie.

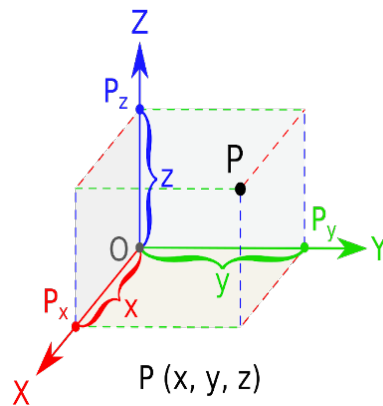


Figura 1: Espacio euclídeo 3D.

#### Tipos de modelos: Nube de puntos.

Posición de los puntos:  $P_i: (x_i, y_i, z_i) \in \mathbb{E}^3$

Propiedades asociadas al punto: color, densidad, etc.

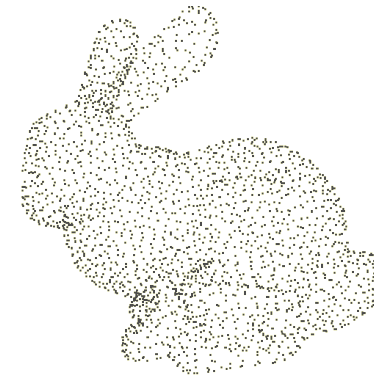


Figura 2: Nube de puntos.

## Tipos de modelos: Malla.

Solamente se representa una superficie (de forma aproximada).

$$V \subseteq \mathbb{E}^3, E \subseteq V \times V, F = \{(i_1, i_2, \dots, i_n) | i_k \in V, (i_k, i_{k+1}) \in E\}$$

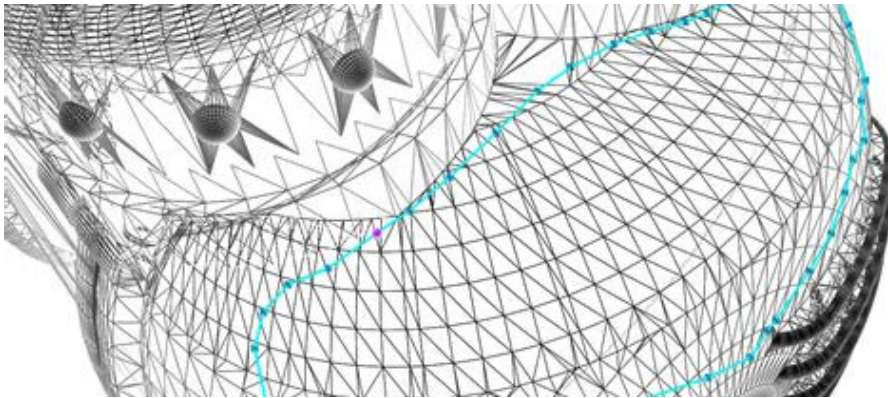


Figura 3: Modelo de malla

## Tipos de modelos: Sólidos (I).

La regularización de un conjunto se define como la clausura de su interior:  $r(S) = c(i(S))$

Un conjunto es regular si es igual a su regularización:  $S = r(S)$

Conjunto (continuo) regular cerrado:  $S \subseteq \mathbb{E}^3$ .

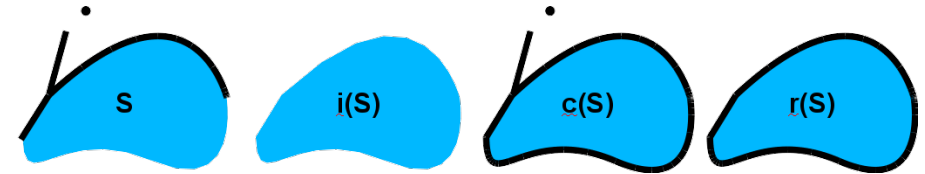


Figura 4: Modelo sólido.

## Tipos de modelos: Sólidos (II).

Todo el sólido mantiene la misma propiedad.

Operaciones regularizadas

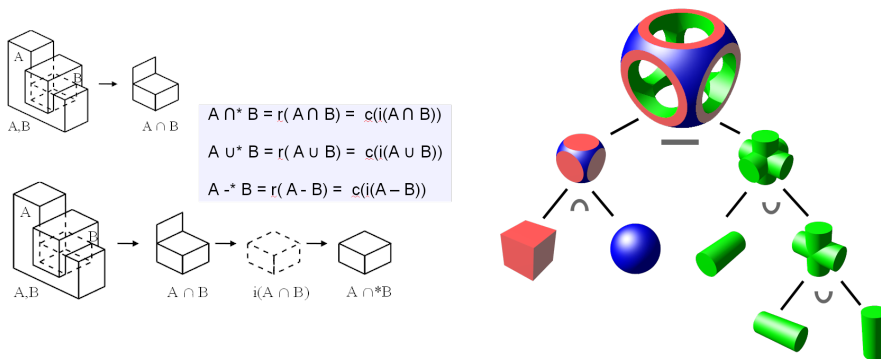


Figura 5: Modelo CSG.

## Tipos de modelos: Volumétricos.

**Rejillas de datos:** vóxeles → Interior heterogéneo

$V \subseteq \mathbb{E}^3 \times \Gamma$ , donde  $\Gamma$  son las propiedades del vóxel.

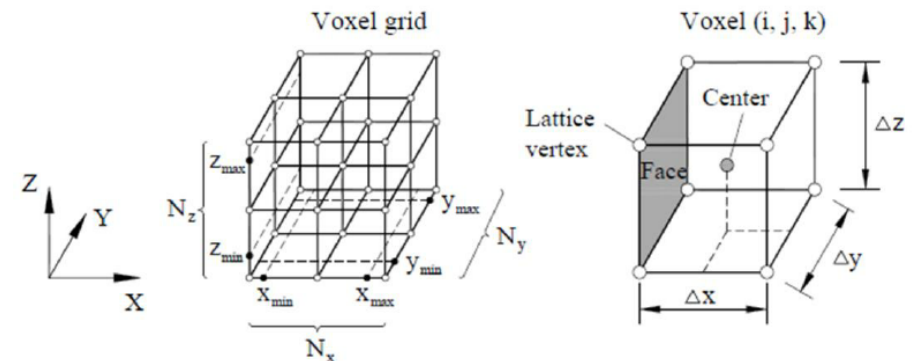


Figura 6: Rejilla de vóxeles

## Operaciones comunes en espacios euclídeos.

Operaciones básicas:

- Posición ( $P_i$ ):  $(x_i, y_i, \dots) \in \mathbb{E}^n$
- Traslación ( $T$ ):  $x \rightarrow x + \Delta t_x$
- Rotación ( $R$ ):  $x \rightarrow x \cdot \cos(\Theta) + y \cdot \sin(\Theta)$
- Escalado ( $S$ ):  $x \rightarrow x \cdot \Delta s_x$

## Operaciones, ¿cómo se combinan?

$$[(x, y) + (\Delta t_x)] \cdot \Delta s_x$$

$$\text{¿Es igual que esto? } [(x, y) \cdot (\Delta s_x)] + \Delta t_x$$

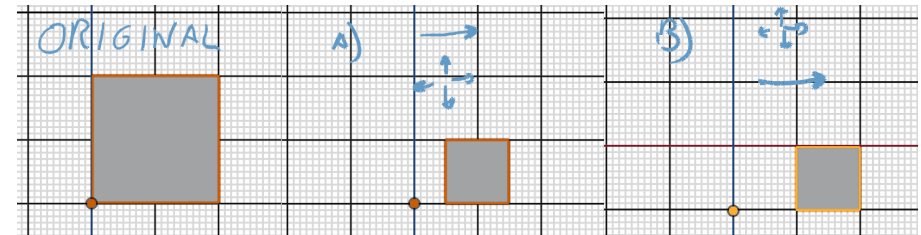


Figura 7: Operaciones geométricas y su orden.

**Punto de pivote:** Punto a partir del cual se realizan las transformaciones.

## Notación: Matrices

Las matrices nos permiten aprovechar uniformar todas las operaciones.

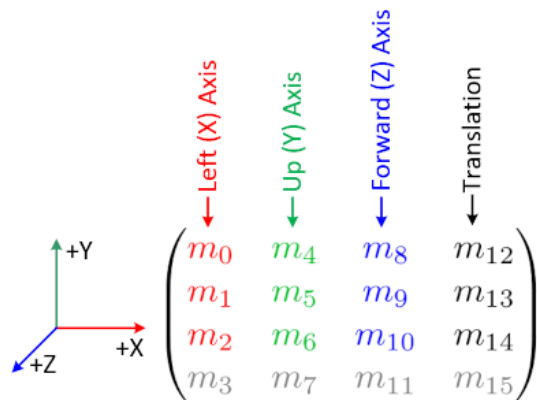


Figura 8: Ejemplo de operación representado como matriz.

## Operaciones comunes: Matrices (I).

$$P_i = \begin{pmatrix} x_i \\ y_i \\ z_i \\ 1 \end{pmatrix}$$

$$T = \begin{pmatrix} 1 & 0 & 0 & \Delta t_x \\ 0 & 1 & 0 & \Delta t_y \\ 0 & 0 & 1 & \Delta t_z \\ 0 & 0 & 0 & 1 \end{pmatrix} \rightarrow \text{Translate}(P_i) = T \cdot P_i$$

$$S = \begin{pmatrix} \Delta s_x & 0 & 0 & 0 \\ 0 & \Delta s_y & 0 & 0 \\ 0 & 0 & \Delta s_z & 0 \\ 0 & 0 & 0 & 1 \end{pmatrix} \rightarrow \text{Scale}(P_i) = S \cdot P_i$$

## Operaciones comunes: Matrices (II).

$$R_x = \begin{pmatrix} 1 & 0 & 0 & 0 \\ 0 & \cos \Theta_\alpha & -\sin \Theta_\alpha & 0 \\ 0 & \sin \Theta_\alpha & \cos \Theta_\alpha & 0 \\ 0 & 0 & 0 & 1 \end{pmatrix}$$

$$R_y = \begin{pmatrix} \cos \Theta_\beta & 0 & \sin \Theta_\beta & 0 \\ 0 & 1 & 0 & 0 \\ -\sin \Theta_\beta & 0 & \cos \Theta_\beta & 0 \\ 0 & 0 & 0 & 1 \end{pmatrix}$$

$$R_z = \begin{pmatrix} \cos \Theta_\gamma & 0 & -\sin \Theta_\gamma & 0 \\ 0 & 1 & 0 & 0 \\ \sin \Theta_\gamma & 0 & \cos \Theta_\gamma & 0 \\ 0 & 0 & 0 & 1 \end{pmatrix}$$

## Ventajas de las matrices.

$$R(\Theta_\alpha, \Theta_\beta, \Theta_\gamma) = R_x \cdot R_y \cdot R_z$$

$$M = R(\alpha, \beta, \gamma) \cdot T \cdot S$$

$$M = \begin{pmatrix} a_0 & a_1 & a_2 & a_3 \\ b_0 & b_1 & b_2 & b_3 \\ c_0 & b_1 & c_2 & c_3 \\ d_0 & b_1 & d_2 & d_3 \end{pmatrix}$$

$$M \cdot P_0$$

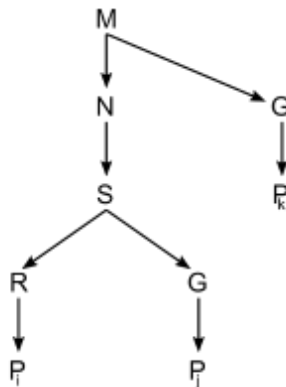
$$M \cdot P_1$$

...

## Apilación de matrices jerárquica

$$M(P) \rightarrow M \cdot P$$

$$M(N(P)) \rightarrow M \cdot N \cdot P$$



**Figura 9:** Diagrama de operaciones.